

AFRY Finland Oy  
Hatanpääkatu 1  
33900 Tampere

Kotipaikka Vantaa, Suomi  
Y-tunnus 0625905-6  
Puh. +358 10 3311

**Päiväys 18.12.2023**

**Viite 101005733-028**  
Sivu 1 (5)  
Yhteyshilö Antti Pelho  
antti.pelho@afry.com

## HELSINGIN KAUPUNKI

## HESPERIANPUISTON RANNAN STABILITEETTITARKASTELUT

## GEOTEKNINEN SUUNNITTELURAPORTTI

Laatinut	Antti Pelho	AFRY Finland Oy	18.12.2023
Tarkastanut	Matti Konttinen	AFRY Finland Oy	18.12.2023
Hyväksynyt			xx.x.2023

## Sisällysluettelo

1	Yleiskuvaus ja maaperä.....	3
2	Tehdyt tarkastelut .....	3
3	Stabiliteetti- ja painumatarkastelut.....	4
3.1	Laskentaleikkaukset .....	4
3.2	Laskentatulokset.....	5
4	Eroosiosuojaus ja lujiterakenteet.....	5
5	Johtopäätökset .....	6
6	Liitteet .....	6

## 1 YLEISKUVAUS JA MAAPERÄ

Hesperianpuisto sijaitsee Helsingissä Töölönlahden länsipuolella. Hesperianpuistoa kehitetään vastaamaan paremmin nykyajan tarpeita. Hesperianpuiston läpi kulkeva Töölönlahden rannan tuntumassa sijaitseva raitti uudistetaan vastamaan paremmin pyöräilyn ja kävelyn tarpeita. Tämä geotekninen selvitys keskittyy raitin uudistamisen geoteknisiin vaikuttuksiin. Rannassa kasvaa vanhoja puita, joiden säilytäminen huomioidaan myös geoteknisissä ratkaisuissa.

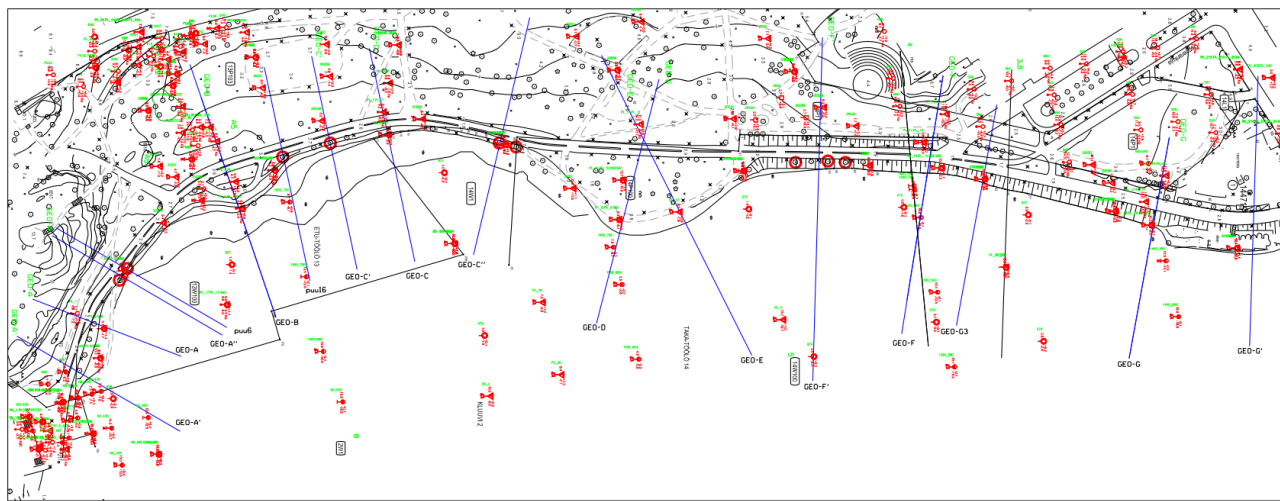
Maanpinta alueella on tasolla +0...4,16. Hesperianpuiston maaperä on pohjatutkimuksien mukaan sekalaista täytöä, jonka alla on koheesiomaakerros. Töölönlahden pohjalla on pohjatutkimuksien mukaan 3...10 m kerros liejua ja savea. Töölönlahden liejun suljettu leikkauslujuus vaihtelee 2...6 kPa välillä. Liejun alaisen saven leikkauslujuus vaihtelee 4...14 kPa välillä.

Rannan puolella täytön paksuus vaihtelee 1...5 m välillä. Täyttö on kairauksien perusteella pääosin hiekkaa. Koekuopista on tehty huomioita myös rakennusjätteestä ja jopa ratakiskoista. Täytön alla oleva koheesiokerros on suurimmalta osin savea. Koheesiokerros on noin 1...4 m paksu täytön alla riippuen sijainnista Hesperianpuistossa. Täytön kitkakulmana on käytetty laskenoissa 28...32 riippuen kairaustuloksista. Alueelta tehtyjen siipikairauksien mukaan saven redusoimaton leikkauslujuus on 5,8....18,5 kPa. Siipikairauksien tulokset on saatu hyvin pieneltä alueelta kairauksista, minkä vuoksi leikkauslujuuden muutos syvyyden funktiona on vaikea havaita. Muutaman siipikairauskokeen perusteella saven leikkauslujuus kasvaa syvyyden kasvaessa täytön alla.

Pohjavedenpinta on merivedenpinnan tasolla ja oletettu nousevan koheesiomaan yläpinnan mukaisesti sisämaahan päin.

## 2 TEHDYT TARKASTELUT

Hesperian puiston rannan stabiliteetti on tarkasteltu kokonaisvarmuustarkasteluna valituista kohteista. Laskennasta saatava varmuus on sovittu Helsingin kaupungin geoteknikoiden kanssa arvoon  $F>1,5$ . Meriveden pinta on sovittu Helsingin kaupungin kanssa olevan laskenoissa tasolla +0,0. Laskennassa huomioidaan uusi raitin tasaus ja uudet alueelta tehdyt pohjatutkimukset. Leikkaukset, joista stabiliteettilaskennat ovat tehty esitetään kuvassa 1.



Kuva 1. Alueelta tehdyt stabiliteettilaskennat

Laskennat tehtiin kolmessa iteraatiokierroksessa. Ensimmäisellä kierroksella selvitettiin rannan stabiliteetti uusien pohjatutkimuksien tuloksiin pohjalta aikaisemman vuoden 2020

laskentaselostuksen laskentaleikkauksista uudella raitin tasauksella sekä luiskan muotoilulla. Varmuuden todettiin monessa kohtaa olevan alle vaaditun uusien pohjatutkimuksien perusteella tehdyissä laskelmissa. Laskennassa todettiin rannan tarvitsevan ponttiseinää tai muita pohjanvahvistustoimenpiteitä, jotta varmuus olisi yli 1,5. Laskentojen perusteella 1:3 luiska todettiin parhaimmaksi luiskakaltevuudeksi stabiliteetin kannalta. Jyrkemmällä luiskalla raitin ja lahden välisen rantapenkereen varmuus ei ole riittävä ja loivempi täytöllä tehty luiska aiheuttaa huomattavaa täytötä lahden puolen liejun päälle.

Seuraavassa kierroksessa laskennat toteutettiin siten, että rannan stabiliteettia pyrittiin parantamaan vastapenkereellä sekä kevennyksillä, jotta ponttiseinää tai muita liukupintoja estäävää rakennetta ei rannalle tarvittaisi. Rannan stabiliteetin kokonaisvarmuus saatiin vaadituksi hankalissa kohteissa, kun vastapenger oli 10 metrin pituinen noin -0,6...-1,0 m raitin tasauksesta alkava 1:10 pintaluiskalla, jonka lisäksi valituissa kohteissa oli lisänä 0,5 m paksu kevennys raitin alla. Esimerkkilaskenta vastapenkereestä on esitetty laskentaliitteessä 2.

Vastapenger aiheutti liikaa maisemahaittaa ja sen rakentaminen todettiin vaikeaksi, jonka vuoksi kolmannen kierroksen stabiliteettilaskenkoissa pyrittiin saamaan rannan varmuus vaadituksi paksummilla kevennyksillä sekä uuden tasauksen sekä rannan muotoilulla välittämättä vanhoista puista.

Tässä raportissa esitetään esimerkkilaskennat iteraatiokierroksista sekä viimeisen kierroksen kaikki laskennat. Laskentojen perusteella tehdyt johtopäätökset esitetään raportin lopuksi.

Lisäksi raportissa esitetään ratkaisu rannan eroosiosuojauckselle.

### **3 STABILITEETTI- JA PAINUMATARKASTELUT**

Stabiliteettitarkastelut on tehty GeoCalc 5.1 -laskentaohjelmalla.

#### **3.1 Laskentaleikkaukset**

Tarkastelut on tehty kokonaisvarmuustarkasteluna. Stabiliteettia on tarkasteltu laskennallisesti seuraavista laskentaleikkauksista:

<b>Laskentaliite</b>	<b>Laskenta-leikkaus</b>	<b>Tarkastelut</b>	<b>Iteraatiokierros/toimenpide</b>
1	C''	stabiliteetti	1/ei pohjanvahvistuksia, uusi tasaus
2	C''	stabiliteetti	2/vastapenger ja mahdollinen kevennys
3	A'	stabiliteetti	3/kevennys ja luiskan muotoilu tarvittaessa
4	A	stabiliteetti	1/ei pohjanvahvistuksia, uusi tasaus
5	Puu6	stabiliteetti	3/kevennys ja luiskan muotoilu tarvittaessa
6	Puu16	stabiliteetti	3/kevennys ja luiskan muotoilu tarvittaessa
7	C'	stabiliteetti	3/kevennys
8	C'	stabiliteetti	3/kevennys ja luiskan muotoilu
9	C	stabiliteetti	3/kevennys ja luiskan muotoilu tarvittaessa
10	C''	stabiliteetti	3/kevennys ja luiskan muotoilu tarvittaessa
11	D	stabiliteetti	1/ei pohjanvahvistuksia, uusi tasaus
12	E	stabiliteetti	1/ei pohjanvahvistuksia, uusi tasaus
13	F'	stabiliteetti	3/kevennys ja luiskan muotoilu tarvittaessa
14	F	stabiliteetti	1/ei pohjanvahvistuksia, uusi tasaus
15	G3	stabiliteetti	1/ei pohjanvahvistuksia, uusi tasaus

16	G	stabiliteetti	2/vastapenger ja mahdollinen kevennys
17	G' ravintola	stabiliteetti	1/ei pohjanvahvistuksia, uusi tasaus

Laskentageometriat sekä maaparametrit on esitetty tämän raportin liitteenä olevissa laskentatuloksissa.

### 3.2 Laskentatulokset

Kokonaisvarmuuden F tulee olla >1,5.

Laskentaliite	Laskenta-leikkaus	Varmuus F	Suositellut toimenpiteet
1	C''	1,0	puupaalut tai ponttiseinä
2	C''	1,5	puupaalut tai ponttiseinä
3	A'	1,5	puupaalut tai ponttiseinä
4	A	1,6	ei vahvistuksia
5	Puu6	1,4	puupaalut tai ponttiseinä
6	Puu16	1,5	kevennys ja luiskan muotoilu tai puupaalut
7	C'	1,2	puupaalut tai ponttiseinä
8	C'	1,5	puupaalut tai ponttiseinä
9	C	1,5	kevennys ja luiskan muotoilu tai puupaalut
10	C''	1,4	puupaalut tai ponttiseinä
11	D	1,6	ei vahvistuksia
12	E	1,5	ei vahvistuksia
13	F'	1,3	puupaalut tai ponttiseinä
14	F	1,5	ei vahvistuksia, uusi tasaus
15	G3	1,0	puupaalut tai ponttiseinä
16	G	1,4	puupaalut tai ponttiseinä
17	G' ravintola	1,3	puupaalut tai ponttiseinä

Nykytilanteessa rannan stabiliteetin varmuus vaihtelee 1,0-1,6 välillä riippuen sijainnista. Uuden raitin rakentamisen vuoksi rannan kokonaisvarmuuden vaaditaan olevan yli 1,5, vaikka raitti ja uusi tasaus ei heikentäisi itsessään rannan stabiliteettia.

Vastapenger on riittävä toimenpide lähes koko rannassa, kuten laskentaliitteiden 2 leikkauksen C'' esimerkki osoittaa. Vastapengertä ei kuitenkaan valittu pohjanvahvistustoimenpiteeksi.

Laskentaleikkauksissa A' ja C' laskentaliitteiden 3 ja 8 mukaisesti luiskan muotoilu ja kevennys riittää pohjanvahvistustoimenpiteeksi, mutta luiskan muotoilun vuoksi säilytettäviä puita tulisi poistaa.

Lähes koko rannalle ehdotetaan pohjanvahvistustoimenpiteenä puupaloja tai ponttiseinää, joka asennetaan raitin alle, jotta puut voitaisiin säilyttää ja nykyiseen rantaan ei tarvitsisi tehdä suuria muutostoimenpiteitä.

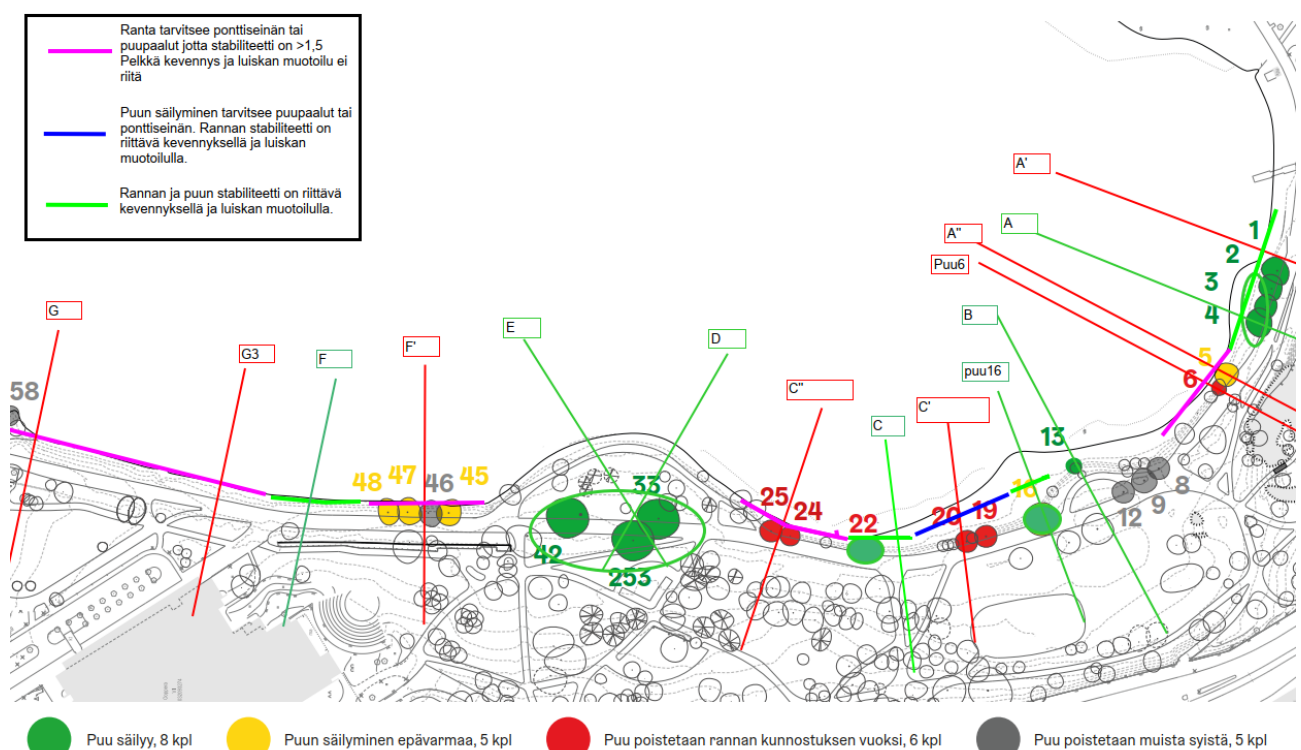
## 4 EROOSIOSUOJAUS JA LUJITERAKENTEET

Rannan eroosiosuojaus rakennetaan erillisessä suunnitelmassa esitettyihin kohteisiin, joihin tehdään uutta luiskatäytöötä. Eroosiosuojaus tehdään siemeneroosiomatolla, joka asennetaan 1:3 luiskaan. Eroosiomatto ankkuroidaan harjateräksillä tai vastaavalla valmistajan ohjeiden mukaisesti katurakenteen ja luiskan väliselle viheralueelle.

Eroosiosuojaus esitetään erillisessä suunnitelmassa.

## 5 JOHTOPÄÄTÖKSET

Laskentojen perusteella Hesperian puiston Töölönlahden rannan stabiliteetti tulee parantaa erillisessä suunnitelmassa ja kuvassa 2 esitetyillä alueilla joko puupaalulla tai ponttiseinällä. Alueet, joilla rannan stabiliteettia ei tarvitse parantaa esitetään kuvassa 2 ja erillisessä suunnitelmassa.



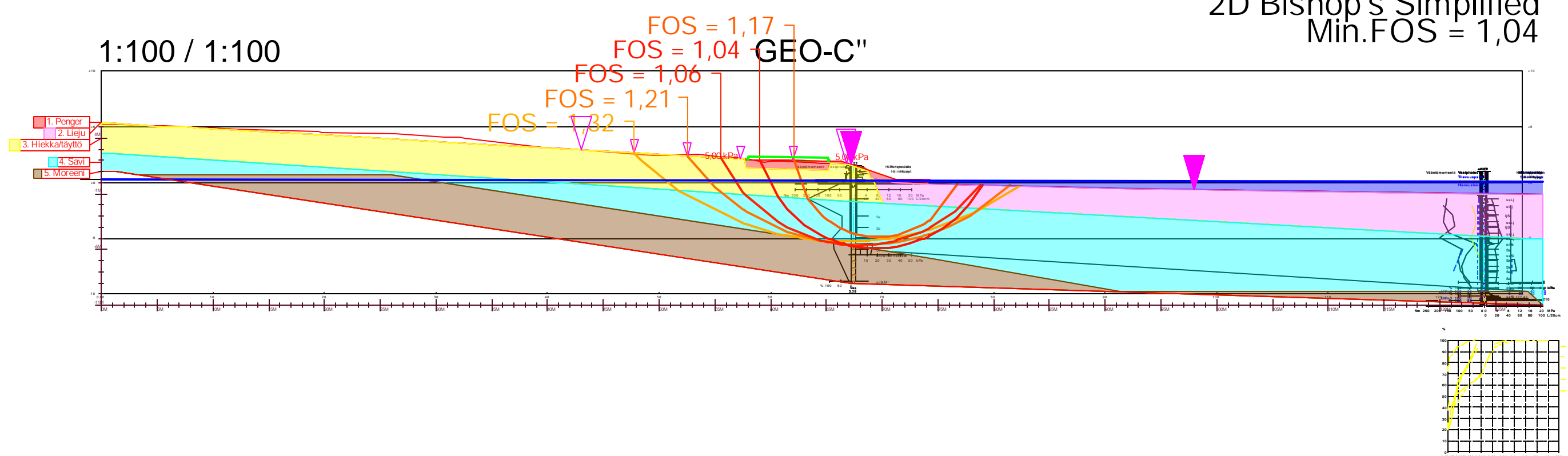
Kuva 2. 2D-stabiliteettilaskentojen johtopäätökset ja valitut leikkaukset karttakuvalta.

Tuloksien perusteella on tehty 3D FEM puupaalutarkastelu, jolla selvitetään puupaalujen mahdollinen stabiliteettia nostattava vaikutus kohteessa kolmessa leikkauksessa A'', C'' ja F''. Puupaalut ovat ympäristöystävällinen rakennusmateriaali ja toimii hiilineluna. Puupaalut todettiin riittäväksi toimenpiteeksi stabiliteetin parantamisessa riittävään varmuuteen. Laskenta ja tulokset on esitetty erillisessä raportissa.

## 6 LIITTEET

- LIITTEET 1...17: Stabiliteettilaskennat

1:100 / 1:100

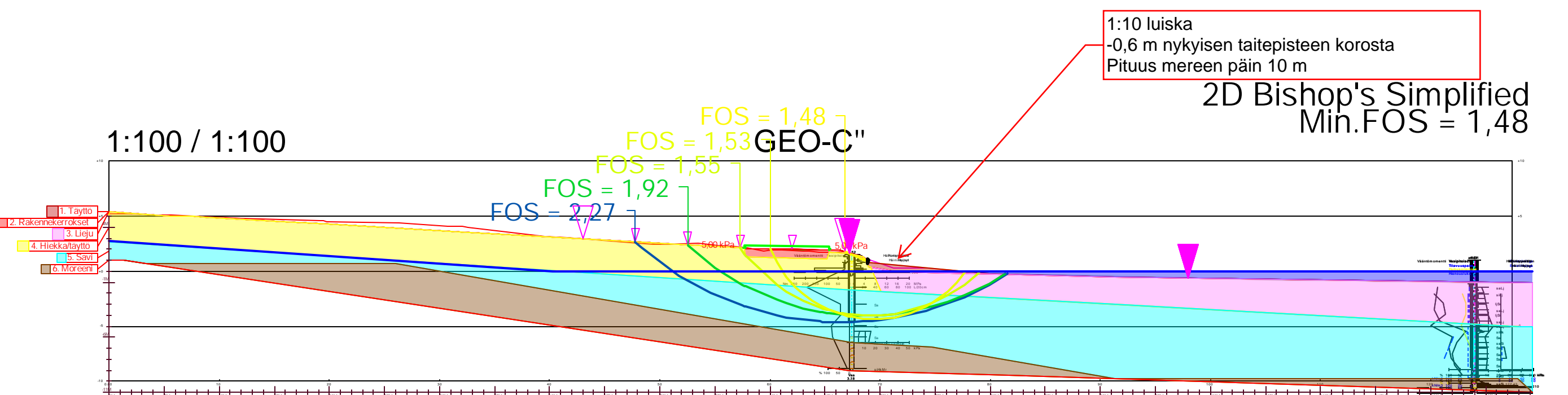
2D Bishop's Simplified  
Min.FOS = 1,04

ID	Soil layer	y [kN/m³]	ysat [kN/m³]	c [kPa]	$\Phi'$ [°]	$\Delta c$ [kPa/m]	$\Delta\Phi'$ [°/m]	Material Type	r <u>u</u>	r <u>u</u> <sub>q</sub>	r <u>u</u> <sub>u</sub>	Anisotropy Type	S <sub>uA</sub> /S <sub>u0</sub>	S <sub>uD</sub> /S <sub>u0</sub>	S <sub>uP</sub> /S <sub>u0</sub>
1	Penger	20,00	20,00	40,00				Independent on depth				Isotropic			
2	Lieju	14,00	14,00	4,00		1,00		Dependent on layer depth				Isotropic			
3	Hiekka/tayto	17,00	17,00	32,00				Independent on depth				Isotropic			
4	Savi	14,00	14,00	8,00				Independent on depth				Isotropic			
5	Moreeni	19,00	19,00	32,00				Independent on depth				Isotropic			

Pore Pressure Settings: GW on, PW off, PPC off, ru off, ruq off, ru' off

Kokonaismuodostus
T/Hesperia
Helsinki
C'-C' laskentaleikkauksia
A. Pelto/AFRY Finland Oy

GeoCalc 5.1.1 (15.06.2023 14:46)



ID	Soil layer	$\gamma$ [kN/m³]	$\gamma_{sat}$ [kN/m³]	c [kPa]	$\Phi'[\circ]$	$\Delta c$ [kPa/m]	$\Delta \Phi'[\circ/m]$	Material Type	r/r₀	r/q	Anisotropy Type	SuA/SuO	SuD/SuO	SuP/SuO
1	Tayto	18,00	18,00		32,00			Independent on depth			Isotropic			
2	Rakennekerrokset	20,00	20,00		40,00			Independent on depth			Isotropic			
3	Lieju	14,00	14,00	4,00		1,00		Dependend on layer depth			Isotropic			
4	Hiekka/tayto	17,00	17,00		32,00			Independent on depth			Isotropic			
5	Savi	14,00	14,00	8,00				Independent on depth			Isotropic			
6	Moreeni	19,00	19,00		32,00			Independent on depth			Isotropic			

Pore Pressure Settings: GW on, PW off, PPC off, rr off, rq off, ru' off

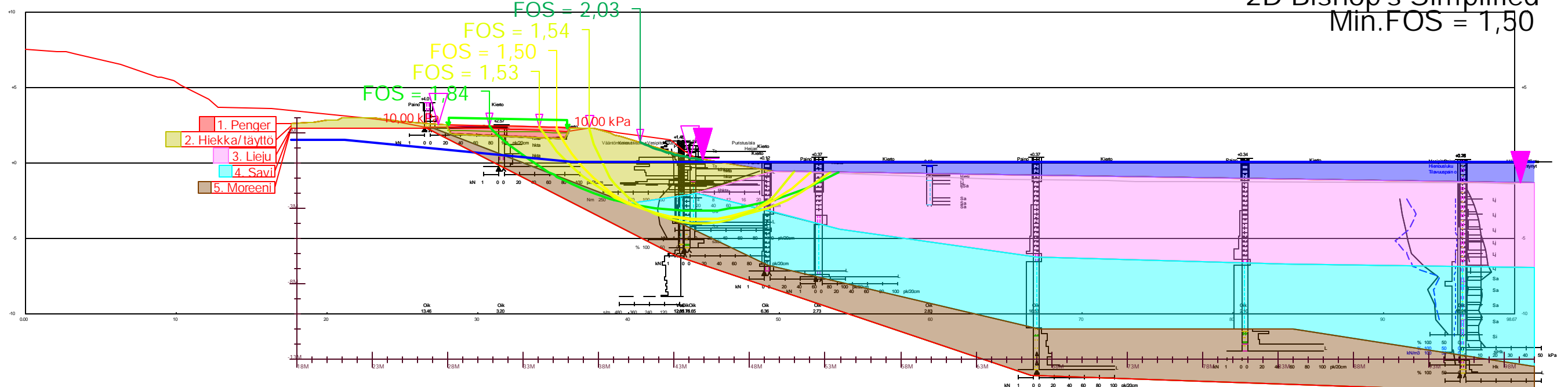
End effect in use: K0:0,5 Fos:2 Length:10

Kokonaisvarmuus
Kevennys
I/Hesperia
Helsingi
C'-C' laskentaleikkauks
A. Pelho/AFRY Finland Oy

GeoCalc 5.1.1 (11.07.2023 12:46)

1:100 / 1:100

GEO-A'

2D Bishop's Simplified  
Min.FOS = 1,50

Id	Soil layer	$\gamma$ [kN/m³]	$\gamma_{sat}$ [kN/m³]	c [kPa]	$\Phi'[\circ]$	$\Delta c$ [kPa/m]	$\Delta\Phi'[\circ]/m$	Material Type	$r_u$	$r_{uq}$	$r_{u'}$	Anisotropy Type	$Su/A$	$Su/O$	$Su/D$	$Su/O$	$Su/P$	$Su/O$
1	Penger	20,00	20,00		40,00			Independent on depth				Isotropic						
2	Hiekka/täytö	17,00	17,00		32,00			Independent on depth				Isotropic						
3	Lieju	14,00	14,00	4,00		1,00		Dependend on layer depth				Isotropic						
4	Savi	14,00	14,00	8,00				Independent on depth				Isotropic						
5	Moreeni	18,00	18,00		32,00			Independent on depth				Isotropic						

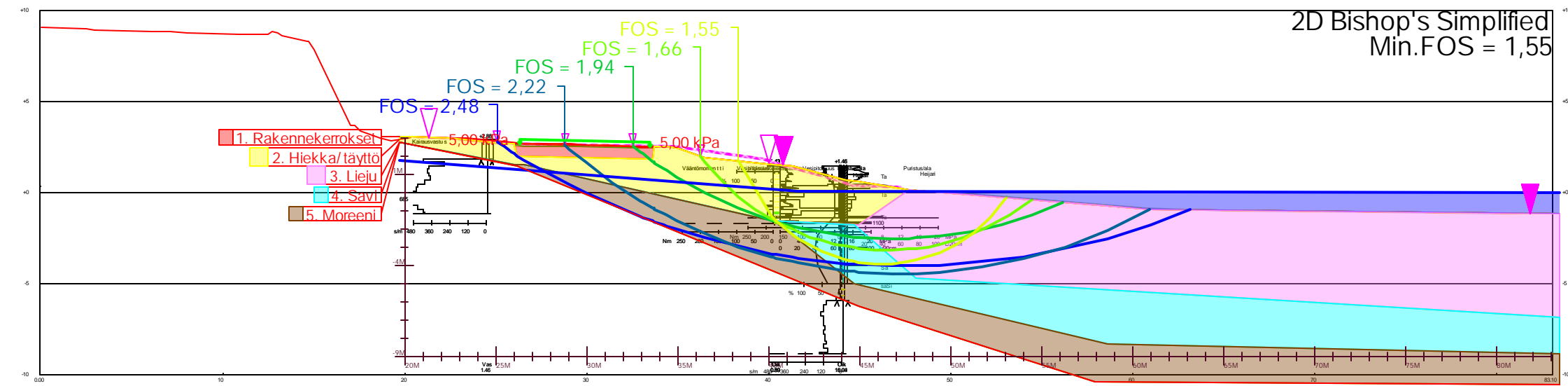
Kokonaisvarmuus
/Hesperia
Helsinki
Stabiliteettileikkaus A'-A'
A. Pelto/AFRY Finland Oy

GeoCalc 5.1.1 (15.06.2023 13:59)

Pore Pressure Settings: GW on, PW off, PPC off, ru off, ruq off, ru' off

1:100 / 1:100

GEO-A

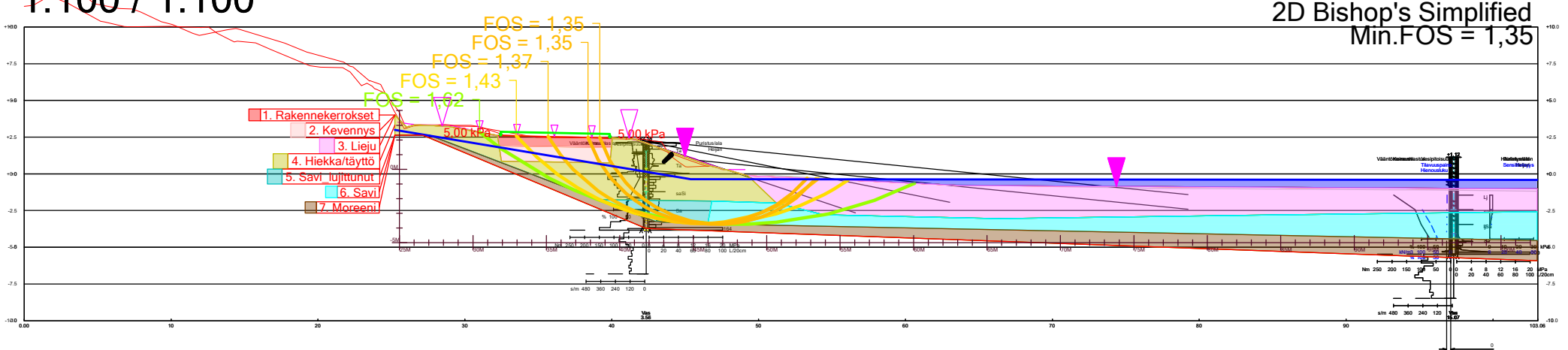
2D Bishop's Simplified  
Min.FOS = 1,55

ID	Soil layer	$\gamma$ [kN/m³]	$\gamma_{sat}$ [kN/m³]	$c$ [kPa]	$\Phi'$ [°]	$\Delta c$ [kPa/m]	$\Delta \Phi'$ [°/m]	Material Type	$r_u$	$ruq$	$ru'$	Anisotropy Type	$S_u/S_u^0$	$S_d/S_d^0$	$S_u^p/S_u^0$
1	Rakennekerrokset	20,00	20,00		40,00			Independent on depth				Isotropic			
2	Hiekka/täytö	17,00	17,00		32,00			Independent on depth				Isotropic			
3	Lieju	15,00	15,00	3,00		1,00		Dependend on layer depth				Isotropic			
4	Savi	15,00	15,00	8,00				Independent on depth				Isotropic			
5	Moreeni	17,00	17,00		32,00			Independent on depth				Isotropic			

Kokonaisvarmuus
/Hesperian puisto
Helsinki
Stabiliteettiliikkuus A-A
A. Pelto/AFRY Finland Oy

Liite 5  
 puu 6  
 1:2 luiska ja kevennys 1,0 m

1:100 / 1:100



ID	Soil layer	$\gamma$ [kN/m³]	$y_{sat}$ [kN/m³]	c [kPa]	$\Phi'[\circ]$	$\Delta c$ [kPa/m]	$\Delta\Phi'[\circ]/m$	Material Type	$r_u$	$r_{u'}$	Anisotropy Type	$SuA/Su0$	$SuD/Su0$	$SuP/Su0$
1	Rakennekerroset	20,00	20,00		40,00			Independent on depth			Isotropic			
2	Kevennys	4,00	11,00		40,00			Independent on depth			Isotropic			
3	Lieju	13,50	14,00	4,00		1,00		Depend on layer depth			Isotropic			
4	Hiekka/täytö	17,00	17,00		30,00			Independent on depth			Isotropic			
5	Savi_lujittunut	15,00	15,00	12,00				Independent on depth			Isotropic			
6	Savi	14,00	14,00	8,00				Independent on depth			Isotropic			
7	Moreeni	18,00	18,00		32,00			Independent on depth			Isotropic			

Kokonaisvarmuus
/Hesperia Helsinki Stabiliteettileikkaus Puu6 Luiskattu A. Pelho/AFRY Finland Oy
GeoCalc 5.1.1 (21.09.2023 15:08)

Pore Pressure Settings: GW on, PW off, PPC off, ru off, ruq off, ru' off

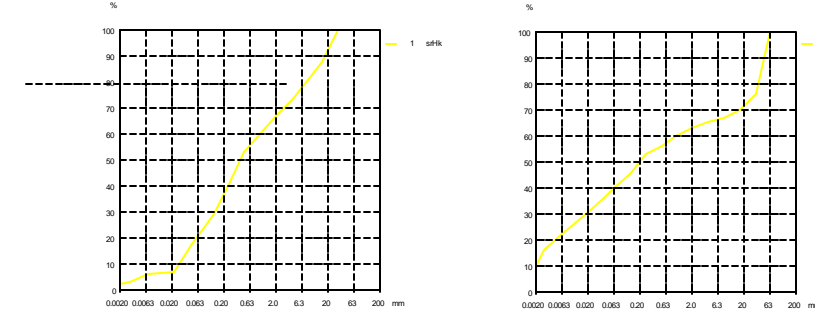
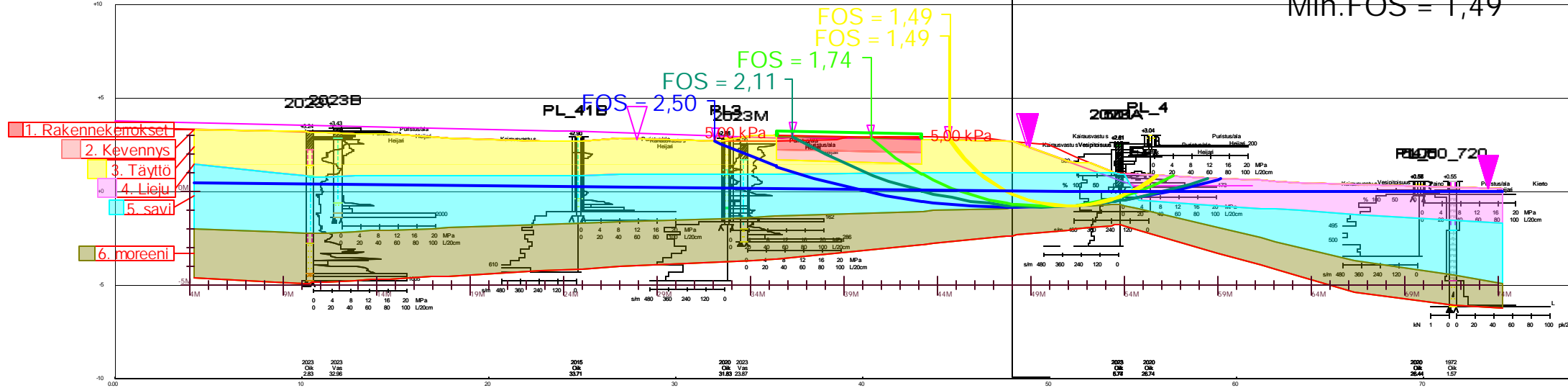
Liite 6

puu 16

1:3 luiska ja kevennys 1,0 m

1:100 / 1:100

puu16 2D Bishop's Simplified  
Min.FOS = 1,49



Id	Soil layer	$\gamma$ [kN/m³]	$\gamma_{sat}$ [kN/m³]	$c$ [kPa]	$\Phi$ [°]	$\Delta c$ [kPa/m]	$\Delta\Phi'$ [°/m]	Material Type	$r_u$	$r_{uq}$	$r_{u'}$	Anisotropy Type	$SuA/Su0$	$SuD/Su0$	$SuP/Su0$
1	Rakennekerokset	20,00	20,00		40,00			Independent on depth				Isotropic			
2	Kevennys	4,00	11,00		40,00			Independent on depth				Isotropic			
3	Täytö	18,00	18,00		32,00			Independent on depth				Isotropic			
4	Lieju	14,00	14,00	4,00		1,00		Depend on layer depth				Isotropic			
5	savi	15,00	15,00	8,00				Independent on depth				Isotropic			
6	moreeni	19,00	19,00		32,00			Independent on depth				Isotropic			

Pore Pressure Settings: GW on, PW off, PPC off, ru off, ruq off, ru' off

Kokonaisvarmuus
/Hesperia
Helsingin kaupunki
Stabiliteettilaskenta puu 16
A. Pelho/ AFRY Finland Oy

GeoCalc 5.1.1 (18.12.2023 19:47)

Liite 7

GEO-C'

kevennys 1,0 m

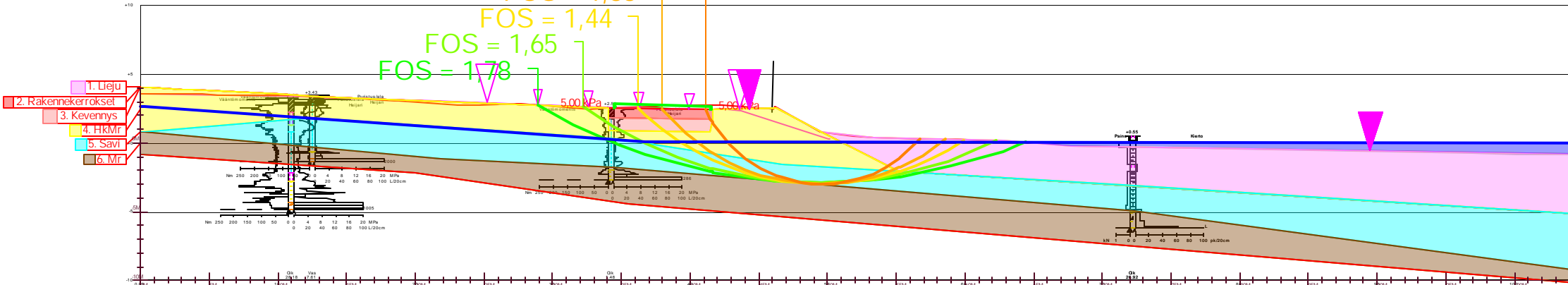
1:100 / 1:100

FOS = 1,23  
FOS = 1,33

FOS = 1,44  
FOS = 1,65  
FOS = 1,78

GEO-C'

2D Bishop's Simplified  
Min.FOS = 1,23



ID	Soil layer	y [kN/m³]	ysat [kN/m³]	c [kPa]	$\Phi^{\prime\prime}$ [°]	$\Delta c$ [kPa/m]	$\Delta \Phi^{\prime\prime}/m$	Material Type	ru	ru'	Anisotropy Type	SuA/Su0	SuD/Su0	SuP/Su0
1	Lieju	14,00	14,00	4,00		1,00		Independent on depth			Isotropic			
2	Rakennekerrokset	20,00	20,00		40,00			Independent on depth			Isotropic			
3	Kevennys	4,00	11,00		40,00			Independent on depth			Isotropic			
4	HKMr	18,00	18,00		32,00			Independent on depth			Isotropic			
5	Savi	14,00	14,00	8,00				Independent on depth			Isotropic			
6	Mr	18,00	18,00		32,00			Independent on depth			Isotropic			

Kokonaisvarmuus
HKL MaKa/Hesperian puisto
Rannan stabiliteetti
Leikkaus C'-C' (puut 19 ja 20)
A. Peihö/AFRY Finland Oy

GeoCalc 5.1.1 (20.09.2023 08:37)

Pore Pressure Settings: GW on, PW off, PPC off, ru off, rug off, ru' off

Liite 8

GEO-C'

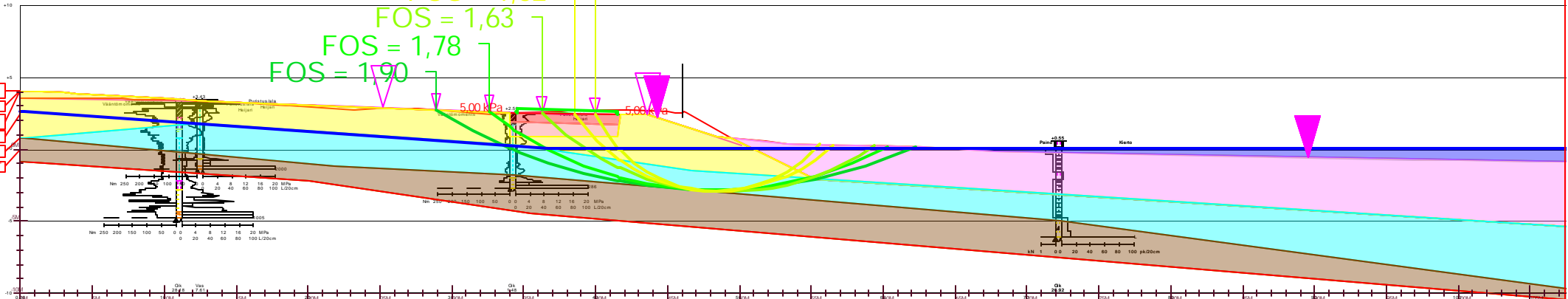
kevennys 1,0 m ja leikkauks 1:3

Puut 19 ja 20 joudutaan kaatamaan luiskan vuoksi

1:100 / 1:100

GEO-C'

2D Bishop's Simplified  
Min.FOS = 1,52



ID	Soil layer	$\gamma$ [kN/m³]	$\gamma_{sat}$ [kN/m³]	c [kPa]	$\Phi'[\circ]$	$\Delta c$ [kPa/m]	$\Delta \Phi'[\circ]/m$	Material Type	$r_u$	$r_uq$	$r_uq'$	Anisotropy Type	$S_u/A$ / $S_u/0$	$S_u/D$ / $S_u/0$	$S_u/P$ / $S_u/0$
1	Lieju	14,00	14,50	4,00		1,00		Dependent on layer depth				Isotropic			
2	rak.ker.	20,00	20,00			40,00		Independent on depth				Isotropic			
3	Kevennys	4,00	11,00			40,00		Independent on depth				Isotropic			
4	HKMr	17,50	18,00			32,00		Independent on depth				Isotropic			
5	Savi	14,50	14,50	8,00				Independent on depth				Isotropic			
6	Mr	18,00	18,00			32,00		Independent on depth				Isotropic			

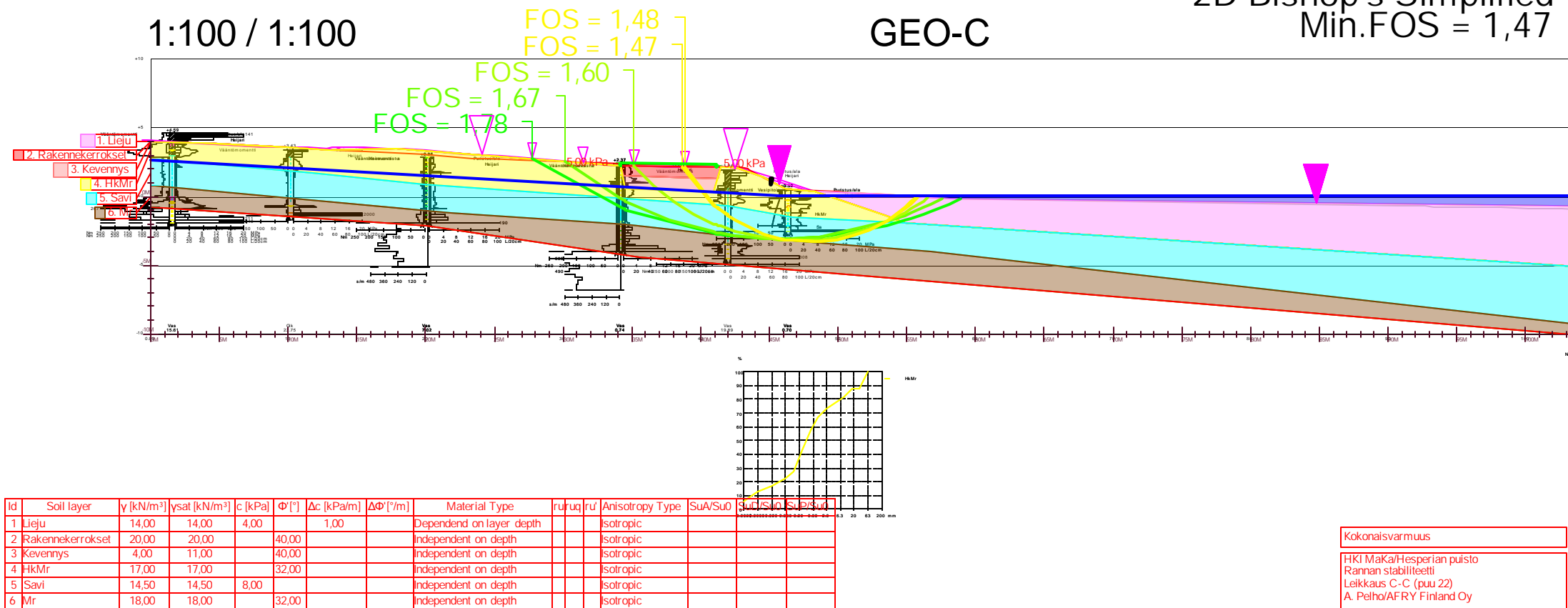
Pore Pressure Settings: GW on, PW off, PPC off, ru off, rug off, ru' off

Kokonaisvarmuus
HKL MaKa/Hesperian puristo
Rannan stabiliteetti
Leikkauks C'-C' (puut 19 ja 20)
A. Peihö/AFRY Finland Oy

GeoCalc 5.1.1 (20.09.2023 08:47)

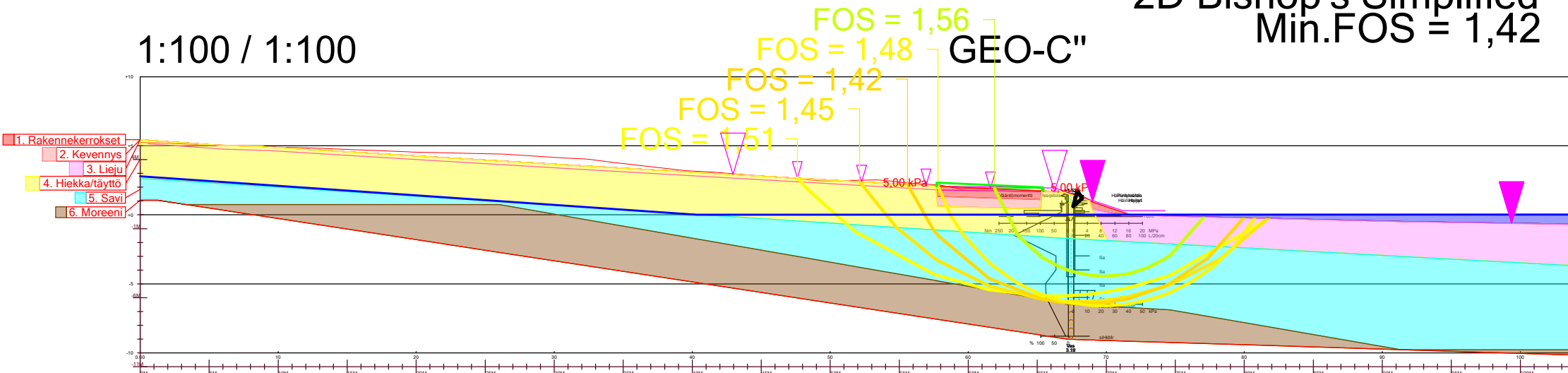
1:100 / 1:100

GEO-C

2D Bishop's Simplified  
Min.FOS = 1,47

1:100 / 1:100

2D Bishop's Simplified  
Min.FOS = 1,42



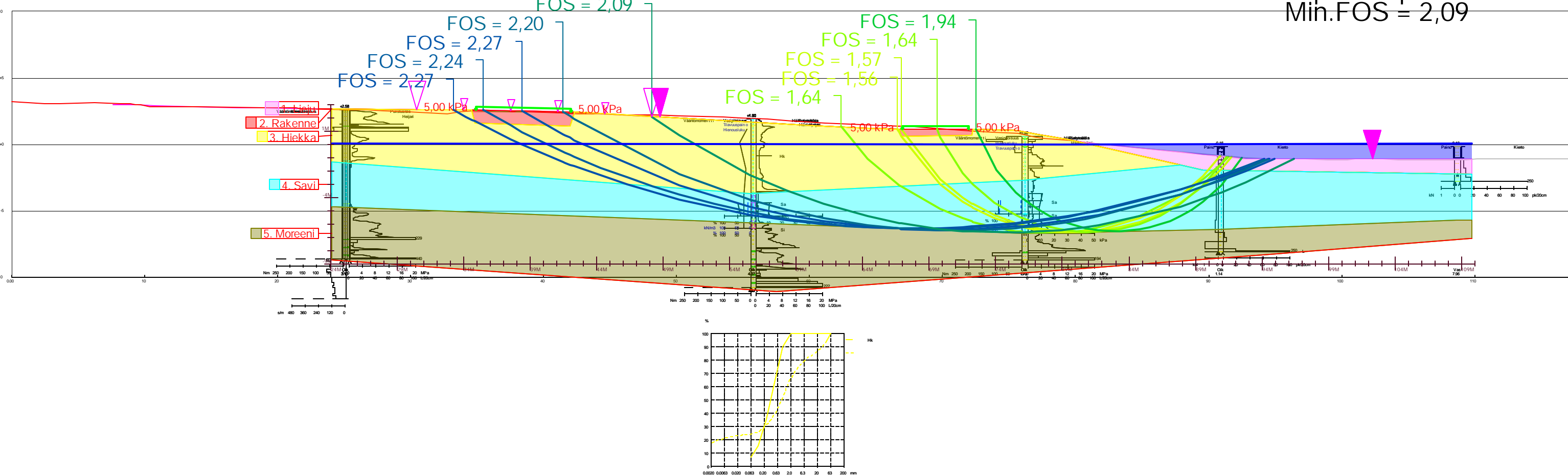
Pore Pressure Settings: GW on, PW off, PPC off, ru off, ruq off, ru' off

Kokonaisvarmuus Luiskattu 1:3 täyttämällä
/Hesperia Helsinki C''-C' laskentaleikkaus (puut 24 ja 25) A. Pelho/AFRY Finland Oy

GeoCalc 5.1.1 (21.09.2023 14:53)

1:100 / 1:100

GEO-D

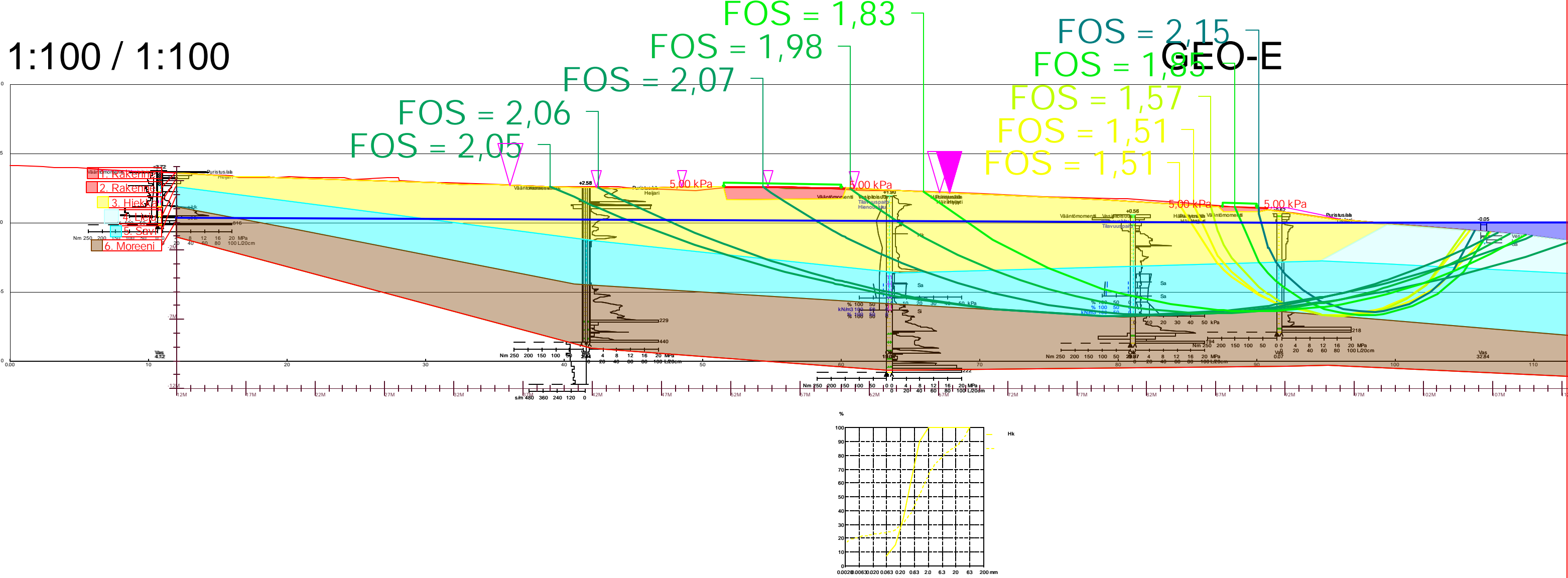
2D Bishop's Simplified  
Min.FOS = 2,09

ID	Soil layer	$\gamma$ [kN/m³]	$\gamma_{sat}$ [kN/m³]	c [kPa]	$\Phi'$ [°]	$\Delta c$ [kPa/m]	$\Delta\Phi'$ [°/m]	Material Type	$r_u$	$r_{uq}$	$r_u'$	Anisotropy Type	SuA/Su0	SuD/Su0	SuP/Su0
1	Lielu	14,00	14,00	4,00		1,00		Dependent on layer depth				Isotropic			
2	Rakenne	20,00	20,00		40,00			Independent on depth				Isotropic			
3	Hiekka	17,00	17,00		30,00			Independent on depth				Isotropic			
4	Savi	14,00	14,00	8,00				Independent on depth				Isotropic			
5	Moreeni	18,00	18,00		32,00			Independent on depth				Isotropic			

Kokonaisvarmuus
/Hesperia
Helsinki
Laskentaleikkaus D-D
A. Pelto/AFRY Finland Oy

# 2D Bishop's Simplified Min.FOS = 1,83

1:100 / 1:100



Id	Soil layer	$\gamma$ [kN/m <sup>3</sup> ]	$\gamma_{sat}$ [kN/m <sup>3</sup> ]	c [kPa]	$\Phi'$ [°]	$\Delta c$ [kPa/m]	$\Delta\Phi'$ [°/m]	Material Type	$r_u/r_{u'}$	$r_u'$	Anisotropy Type	$Su/A/Su_0$	$Su/D/Su_0$	$Su/P/Su_0$
1	Rakenne	20,00	20,00		40,00			Independent on depth			Isotropic			
2	Rakenne	20,00	20,00		40,00			Independent on depth			Isotropic			
3	Hiekka	17,00	17,00		32,00			Independent on depth			Isotropic			
4	Lieju	14,00	14,00	4,00		1,00		Depend on layer depth			Isotropic			
5	Savi	14,00	14,00	8,00				Independent on depth			Isotropic			
6	Moreeni	19,00	19,00		32,00			Independent on depth			Isotropic			

Pore Pressure Settings: GW on, PW off, PPC off, ru off, ruq off, ru' off

Kokonaisvarmuus
Nykyinen maapinta rannassa
/Hesperia
Helsinki
Laskentaleikkaus E-E
A. Pelto/AFRY Finland Oy

GeoCalc 5.1.1 (11.07.2023 12:58)

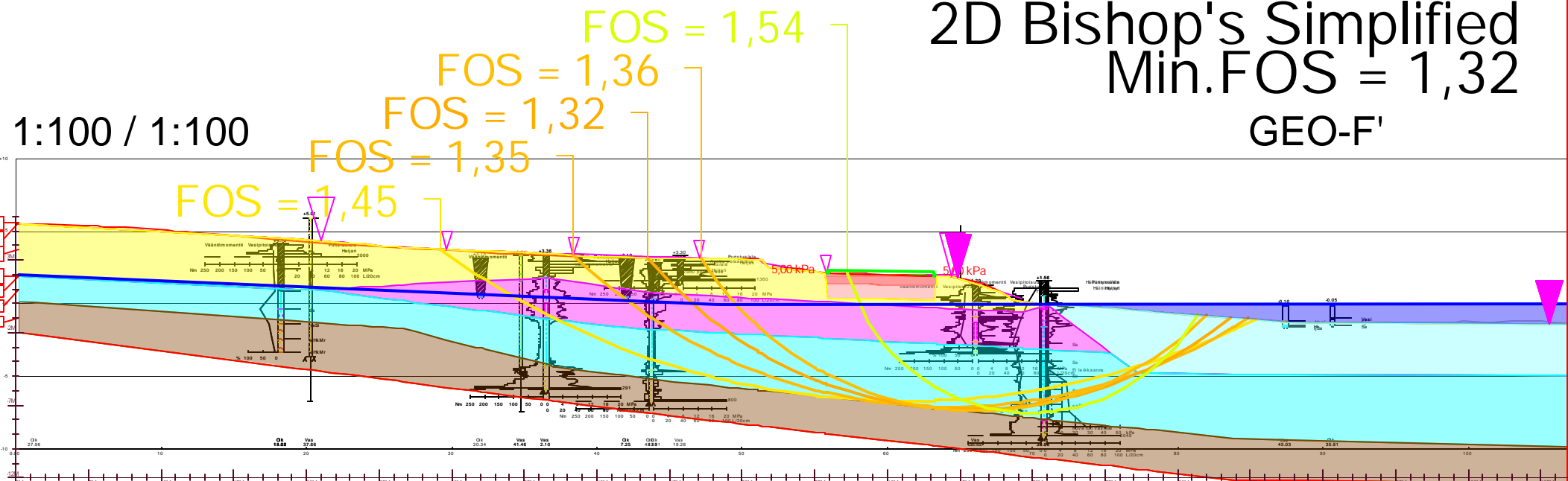
Liite 13

GEO-F'

kevennys 1,0 m

# 2D Bishop's Simplified Min.FOS = 1,32

GEO-F'



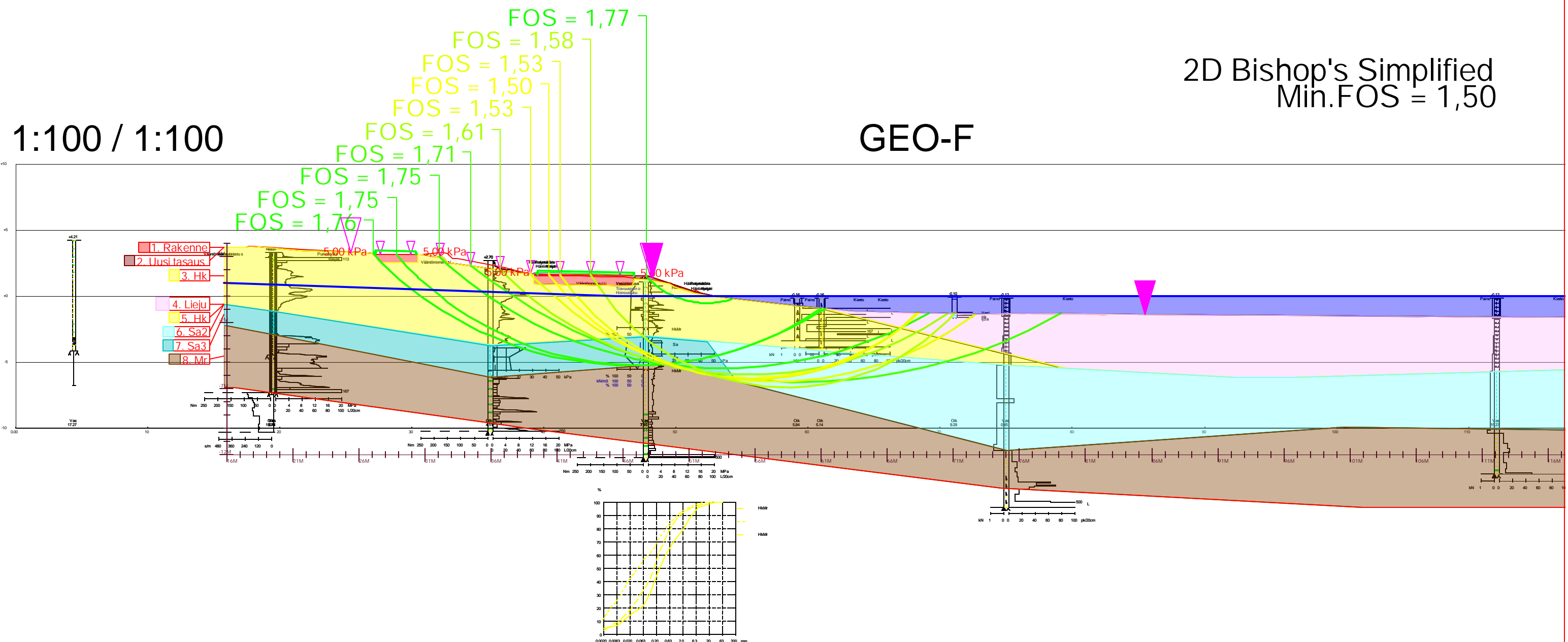
ID	Soil layer	$\gamma$ [kN/m³]	$\gamma_{sat}$ [kN/m³]	c [kPa]	$\Phi'(^{\circ})$	$\Delta c$ [kPa/m]	$\Delta\Phi'(^{\circ}/m)$	Material Type	$r_u$	$r_{ug}$	$r_{u'}$	Anisotropy Type	$Su/A/Su_0$	$Su/D/Su_0$	$Su/P/Su_0$
1	Täytö	20,00	20,00		40,00			Independent on depth				Isotropic			
2	Kevennys	4,00	11,00		40,00			Independent on depth				Isotropic			
3	Täytö/hiekka	17,00	17,00		30,00			Independent on depth				Isotropic			
4	Lieju	14,00	14,00	4,00		1,00		Dependent on layer depth				Isotropic			
5	saSi	15,00	15,00			28,00		Independent on depth				Isotropic			
6	Savi	14,50	14,50	10,00				Independent on depth				Isotropic			
7	Moreeni	18,00	18,00			32,00		Independent on depth				Isotropic			

Kokonaisvarmuus
/Hesperiä
Helsinki
Laskentaleikkaus F'-F' (puut 45-48)
A. Pelto/AFRY Finland Oy

GeoCalc 5.1.1 (20.09.2023 13:01)

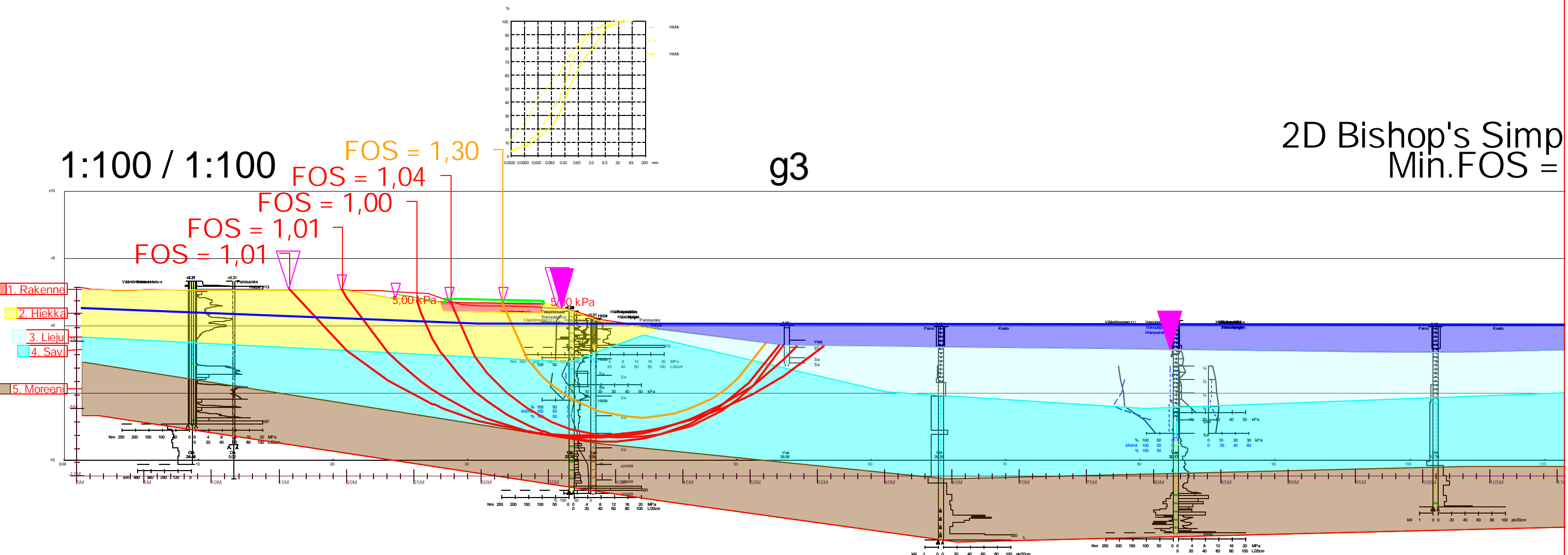
Pore Pressure Settings: GW on, PW off, PPC off, ru off, rug off, ru' off

1:100 / 1:100



Id	Soil layer	$\gamma$ [kN/m³]	$\gamma_{sat}$ [kN/m³]	c [kPa]	$\Phi'$ [°]	$\Delta c$ [kPa/m]	$\Delta\Phi'$ [°/m]	Material Type	$r_u$	$r_{u'}$	Anisotropy Type	$S_u/A$	$S_u/D$	$S_u/P$	$S_u/U$
1	Rakenne	20,00	20,00		40,00			Independent on depth			Isotropic				
2	Uusi tasaus	20,00	20,00		36,00			Independent on depth			Isotropic				
3	HK	17,00	17,00		30,00			Independent on depth			Isotropic				
4	Lieju	14,00	14,00	4,00		0,50		Dependend on layer depth			Isotropic				
5	HK	17,00	17,00		30,00			Independent on depth			Isotropic				
6	Sa2	14,00	14,00	5,00				Independent on depth			Isotropic				
7	Sa3	14,00	14,00	9,00				Independent on depth			Isotropic				
8	Mr	18,00	19,00		32,00			Independent on depth			Isotropic				

Kevennys 0,5 m
HKI MaKa/Hesperian puisto
Rannan stabiliteetti
Leikkauks F-F
A.Pelto/AFRY Finland Oy



ID	Soil layer	$\gamma$ [kN/m³]	$\gamma_{sat}$ [kN/m³]	c [kPa]	$\Phi'$ [°]	$\Delta c$ [kPa/m]	$\Delta\Phi'$ [°/m]	Material Type	$r_u$	$ru_q$	$ru'$	Anisotropy Type	SuA/Su0	SuD/Su0	SuP/Su0
1	Rakennus	20,00	20,00		40,00			Independent on depth				Isotropic			
2	Hiekka	17,00	17,00		30,00			Independent on depth				Isotropic			
3	Lieju	14,00	14,00	3,00		0,50		Dependend on layer depth				Isotropic			
4	Savi	14,00	14,00	8,00				Independent on depth				Isotropic			
5	Moreeni	18,00	18,00	32,00				Independent on depth				Isotropic			

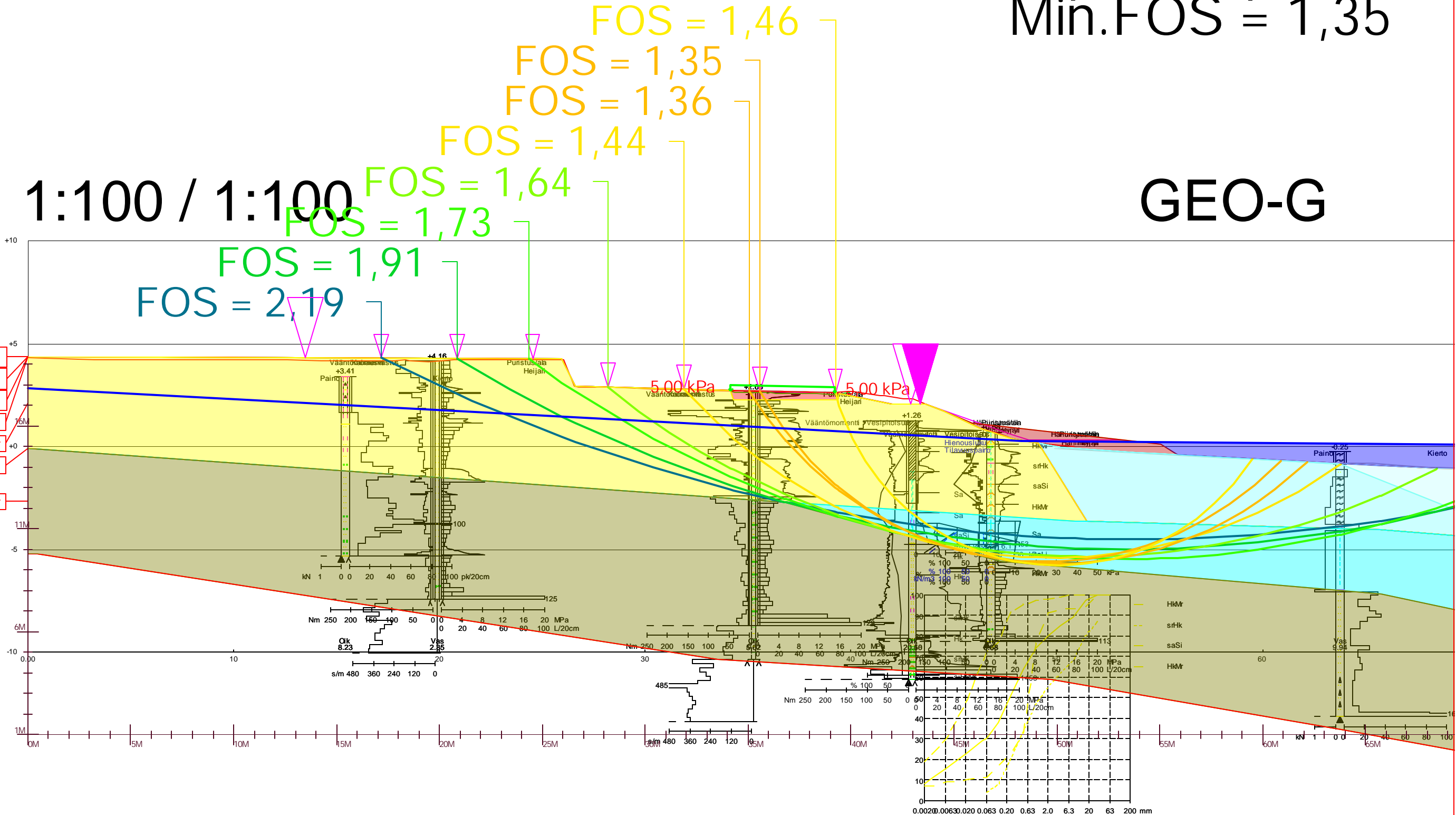
Kokonaisvarmuus Ponttiseinä
/Hesperia Helsinki Leikkaus G ja F välistä A. Pelto/ AFRY Finland Oy

Pore Pressure Settings: GW on, PW off, PPC off, ru off, ruq off, ru' off

GeoCalc 5.1.1 (11.07.2023 13:39)

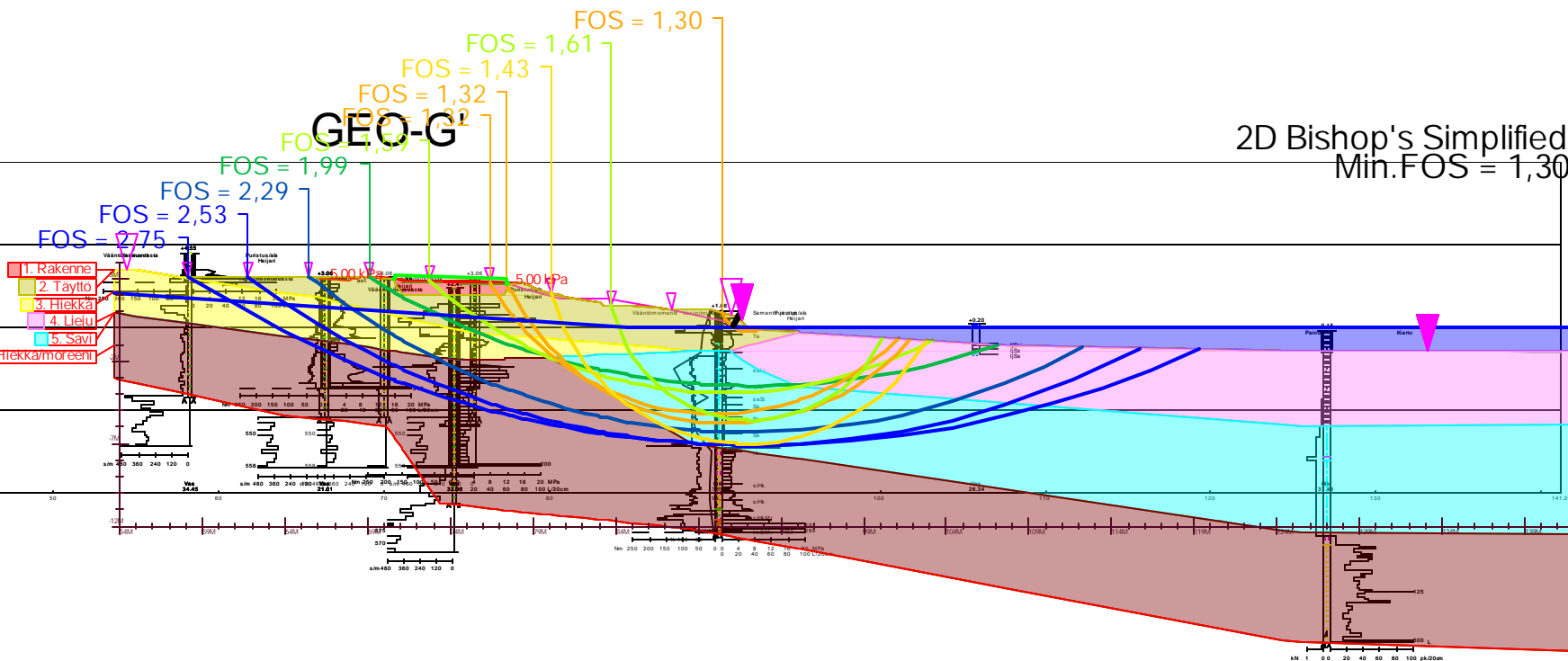
# 2D Bishop's Simplified

Min.FOS = 1,35



Id	Soil layer	$\gamma$ [kN/m <sup>3</sup> ]	$\gamma_{sat}$ [kN/m <sup>3</sup> ]	c [kPa]	$\Phi'[\circ]$	$\Delta c$ [kPa/m]	$\Delta\Phi'[\%/m]$	Material Type	r <sub>u</sub>	r <sub>uq</sub>	r <sub>u'</sub>	Anisotropy Type	SuA/Su0	SuD/Su0	SuP/Su0
1	Täytö	20,00	20,00		40,00			Independent on depth				Isotropic			
2	Lieju1	14,00	14,00	2,00		1,00		Dependend on layer depth				Isotropic			
3	Lieju2	14,00	14,00	4,00		1,00		Dependend on layer depth				Isotropic			
4	rakennekerrokset	20,00	20,00		40,00			Independent on depth				Isotropic			
5	HkMr	17,00	17,00		32,00			Independent on depth				Isotropic			
6	Savi	14,00	14,00	10,00				Independent on depth				Isotropic			
7	Mr	17,00	18,00		34,00			Independent on depth				Isotropic			

HKI MaKa/Hesperian puisto  
Rannan stabiliteetti  
Leikkaus G-G  
A. Pelho/AFRY Finland Oy



ID	Soil layer	$\gamma$ [kN/m³]	$\gamma_{sat}$ [kN/m³]	$c$ [kPa]	$\phi'$ [°]	$\Delta c$ [kPa/m]	$\Delta\phi'/^{\circ}/m$	Material Type	$r_u$	$u_q$	Anisotropy Type	$S_u/A_s$	$S_u/D_s$	$S_u/P_s$
1	Rakenne	20,00	20,00		40,00			Independent on depth			Isotropic			
2	Täytto	18,00	18,00		32,00			Independent on depth			Isotropic			
3	Hiekka	17,00	17,00		30,00			Independent on depth			Isotropic			
4	Lieju	14,00	14,00	4,00		1,00		Depend on layer depth			Isotropic			
5	Savi	14,00	14,00	9,00				Independent on depth			Isotropic			
6	Hiekka/moreeni	18,00	18,00		32,00			Independent on depth			Isotropic			

Pore Pressure Settings: GW on, PW off, PPC off, ru off, ruq off, ru' off

Kokonaisvarmuus
Hesperia
Helsinki
Leikkaus G'-G'
A. Peho/AFRY Finland Oy